

УДК 547.979.733

ИОН-МОЛЕКУЛЯРНЫЕ ВЗАИМОДЕЙСТВИЯ  
В СИСТЕМЕ МЕТАЛЛОПОРФИРИН—КИСЛОТА В ЖИДКИХ РАСТВОРАХ

Т.Н. Ломова<sup>1</sup>, М.Е. Клюева<sup>2</sup>, Е.Г. Можжухина<sup>1</sup>, Е.Ю. Тюляева<sup>1</sup>, Н.Г. Бичан<sup>1</sup>,  
С.В. Зайцева<sup>1</sup>, С.А. Зданович<sup>1</sup>

<sup>1</sup>Институт химии растворов им. Г.А. Крестова РАН, Иваново

E-mail: tnl@isc-ras.ru

<sup>2</sup>Ивановская государственная медицинская академия

Статья поступила 10 июля 2013 г.

Обнаружена и изучена новая форма металлопорфиринов  $\text{MP}\dots\text{H}_{\text{solv}}^+$  в среде сильных кислот, установлены условия ее образования и качественная реакция для ее определения. Показано, что такую же форму образует дикатион  $\text{H}_4\text{TPP}^{2+}$  (TPP — дианион 5,10,15,20-тетрафенил-21Н,23Н-порфина). Методами УФ видимой и  $^1\text{H}$  ЯМР спектроскопии и квантово-химическими расчетами в деталях изучены устойчивость в средах различной кислотности и в изолированном состоянии, спектральные свойства и строение  $\text{H}^+$ -ассоциатов порфиринов. Показано, что они имеют уникальный двухполосный "видимый" электронный спектр с положением полос в области 540 и 700 нм, мало зависящим от типа центрального атома в комплексе и заметно изменяющимся при функциональном замещении хромофора. Определено место локализации протона в ион-молекулярном ассоциате и выявлены случаи образования  $\text{H}^+$ -ассоциатов более высокой стехиометрии.

**Ключевые слова:** порфирины, комплексы, образование  $\text{H}^+$ -ассоциатов, свойства, структура.

ВВЕДЕНИЕ

Порфирины ( $\text{H}_2\text{P}$ ) относятся к слабым четырехцентровым амфолитам [1] и поэтому обычно образуют молекулярные растворы при нормальных условиях. Показатели констант кислотной ионизации образующихся при высоких активностях протонов катионных форм  $\text{H}_3\text{P}^+$  и  $\text{H}_4\text{P}^{2+}$  составляют 15,80÷23,91 в ДМСО и метаноле [2, 3] и 16,40 в ДМСО: $\text{H}_2\text{O}$  4:1 [4] соответственно. У координированных катионами металлов порфиринов основные свойства появляются только в случае мезо-аза-замещенных аналогов — азапорфиринов и фталоцианинов [5, 6]. Так, показатели констант устойчивости протонированных форм  $\text{pK}_{\text{a}1}$ ,  $\text{pK}_{\text{a}2}$  для  $(\text{OH})\text{AlPc}(4\text{-Cl})_4(5\text{-NO}_2)_4$  [7] и  $\text{pK}_{\text{a}2}$  для  $(\text{OH})\text{AlPc}(4\text{-Br})_4$  [8] составляют  $(4\pm 1)\times 10^{-9}$ ,  $(4\pm 3)\times 10^{-10}$  и  $(4\pm 3)\times 10^{-9}$  л/моль в концентрированной  $\text{H}_2\text{SO}_4$ . В настоящей работе мы показали, что, несмотря на отсутствие в металлопорфиринах ( $\text{MP}$ ) и  $\text{H}_4\text{P}^{2+}$  мезо-аза-мостиков, в среде сильных кислот (смесях на основе моногидрата  $\text{H}_2\text{SO}_4$ , в концентрированной (до 100 %)  $\text{H}_2\text{SO}_4$  и в некоторых других)  $\text{MP}$  и  $\text{H}_4\text{P}^{2+}$  образуют новую протонированную форму —  $\text{H}^+$ -ассоциат  $\text{MP}\dots\text{H}_{\text{solv}}^+$  и  $\text{H}_4\text{P}^{2+}\dots\text{H}_{\text{solv}}^+$ , проявляя очень слабые основные свойства.

Катионные формы  $\text{MP}$  в растворах представляют значительный теоретический и практический интерес, связанный с необходимостью разработки рецепторов анионов, подобных многочисленным известным катионным формам порфиринов, связывающим анионы в твердом со-

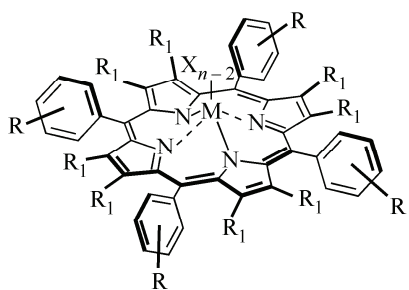
стоянии [9—11]. Работы по созданию анионных рецепторов на основе порфиринов для растворов до настоящего времени остаются единичными [12]. Поскольку катионные формы МР существуют при высоких активностях протонов, исследование форм существования МР в среде сильных кислот представляется весьма актуальной задачей.

Ранее мы показали [13], вопреки сложившейся в то время точке зрения, что комплексы порфиринов в очень "крепкой" серной кислоте, давая раствор грязно-коричневого цвета, не подвергаются необратимой деструкции с разрушением макроцикла. На самом деле, мы выделили некоторые неизмененные МР из их сернокислых растворов, а другую часть комплексов переосадили количественно в виде соответствующего дважды протонированного порфирина  $\text{H}_4\text{P}^{2+}$  без деструкции макроцикла. Переосажденные металлопорфирины имели однотипные электронные спектры поглощения (ЭСП) в серной кислоте и в органических растворителях. Тогда же была открыта качественная реакция на координированное состояние растворенного порфирина — отсутствие интенсивного зеленого окрашивания вблизи осадка при растворении МР, указывающего, что в растворе переходит уже подвергшееся диссоциации по центральному атому металла соединение. Таким образом, коричневый раствор с очень специфичным ЭСП образует либо металлопорфирин, либо двукратно протонированный порфирин — оба в новой неизвестной форме. Новая форма некоординированного 5,10,15,20-тетрафенил-21Н,23Н-порфирина ( $\text{H}_2\text{TPP}$ ) была также обнаружена в работе [14], где предполагалось, что в серной кислоте высоких концентраций двукратно протонированный порфирин  $\text{H}_4\text{TPP}^{2+}$  подвергается дальнейшему протонированию. Однако изучить какие-либо другие свойства данной формы МР или  $\text{H}_4\text{P}^{2+}$  не удавалось до сих пор из-за агрессивных свойств концентрированной серной кислоты.

В настоящей работе новая форма металлопорфиринов впервые изучена прямым методом спектроскопии  $^1\text{H}$  ЯМР и квантово-химическим методом. Определено количество и наиболее вероятное место локализации протонов, изучены спектры поглощения, устойчивость и условия образования новой формы МР в среде кислот различной силы.

### ЭКСПЕРИМЕНТАЛЬНАЯ ЧАСТЬ

Комплексы  $\text{H}_2\text{TPP}$  с *p*-металлами подгрупп Al и Si и *d*-металлами первого—третьего переходных рядов от Ti до Zn, от Zr до Ag, исключая Tc, и от Hf до Au (см. формулу) получали по реакции между порфирином и солью металла или, в случае Ru, Re, Os, Ir и Pt, калиевой солью соответствующей кислоты в среде органического растворителя по методикам [15—22].



R — функциональный заместитель *p*-Br, *o*-NH<sub>2</sub>, *p*-F,  
*p*-OMe, *p*-адамантаноиламино-группа;  
R<sub>1</sub> —  $\beta$ -Br,  $\beta$ -Alk;  
X — Cl<sup>-</sup>, Br<sup>-</sup>, AcO<sup>-</sup>, HSO<sub>4</sub><sup>-</sup>, SCN<sup>-</sup>, AcacO<sup>-</sup>, OH<sup>-</sup>, O<sup>2-</sup>,  
OPh<sup>-</sup>, N<sup>3-</sup>;  
n = 2—5

В случае Mn получены также комплексы, замещенные по  $\beta$ -положениям и фенильным остаткам, комплексы с различными аксиальными лигандами и комплекс с молекулярным порфирином (так называемый SAT комплекс) — соответственно  $(\text{Cl})\text{MnT(R)}_m\text{PP(R}_1)_p$ ,  $(\text{X})\text{MnTPP}$  и  $\text{MnCl}_3 \cdot \text{H}_2\text{MPOMP}$  (комплекс 5-фенил-2,3,7,8,12,13,17,18-октаметил-21Н,23Н-порфина). В случае Pd изучены комплексы 2,3,7,8,12,13,17,18-октаэтил-21Н,23Н-порфина с одной, двумя и четырьмя фенильными группами в *мезо*-положениях — PdOEP, PdMPOEP, Pd<sup>5,15</sup>DPOEP, PdTPOEP. Они синтезированы по методике [23] и предоставлены А.С. Семейкиным (Ивановский государственный химико-технологический университет).

Для синтеза комплексов Al, Tl, Si, Sn, Pb, Ti, металлов от Mn до Zn, Pd, Ag, Pt (комплекс Pt<sup>IV</sup>) и Au использовали низкокипящие растворители ДМФА, Py, ДМФА—Py, AcOH, AcOH—Py, CHCl<sub>3</sub>—TГФ, CHCl<sub>3</sub>—AcOH, для синтеза комплексов Ga, In, Ge, V, Cr, Zr, Nb, Mo, Ru, Rh,

Hf, Ta, W, Re, Os, Ir, Pt (комплекс Pt<sup>II</sup>) — высококипящие растворители фенол, бензонитрил, хинолин. Методики синтеза в Py и феноле приведены ниже. Комплекс (N)Mn<sup>V</sup>TPP синтезирован окислением (Cl)Mn<sup>III</sup>TPP по методике, использованной в работах [24, 25] для получения нитридных комплексов металлофталоцианинов и марганецтетраазапорфиринов.

**(5,10,15,20-Тетрафенил-21Н,23Н-порфинато)(хлоро)алюминий(III), (Cl)AlTPP** получали по реакции H<sub>2</sub>TPP с AlCl<sub>3</sub> в мольном соотношении 1:60 в среде Py (10 мл на 1 г AlCl<sub>3</sub>) при температуре кипения смеси в течение 6 ч. После охлаждения реакционной смеси комплекс осаждали добавлением 100 мл H<sub>2</sub>O и 30 мл AcOH, отфильтровывали, промывали теплой H<sub>2</sub>O, растворяли в минимальном количестве CHCl<sub>3</sub> и вносили на колонку с Al<sub>2</sub>O<sub>3</sub> II степени активности по Брокману для хроматографии с использованием CHCl<sub>3</sub>. Комплекс (Cl)AlTPP образует зону красного цвета. Сухой комплекс выделяли после повторной хроматографии вакуумной отгонкой CHCl<sub>3</sub>, выход 61 %. ЭСП в хлороформе [ $\lambda_{\max}$ , нм (lgε)]: 592 (3,56), 549 (4,2), 510 пле-чо, 466 (3,45), 418 (4,58); ЭСП в AcOH ( $\lambda_{\max}$ , нм (lgε)): 596 (3,89), 558 (4,23), 515 (3,53), 420 (5,46); ИК спектр в KBr, ν, см<sup>-1</sup>: 304 ν(Al—N), 360 ν(Al—O), 459 ν(Al—N), 703, 752 γ(C—H)<sub>Ph</sub>, 798 γ(C—H)<sub>Pyrrol</sub>, 993, 1007 δ(C—H)<sub>Pyrrol</sub>, 1067, 1152, 1174 δ(C—H)<sub>Ph</sub>, 1348 ν(C—N), 1438 ν(C=N), 1487, 1576, 1596 ν(C=C)<sub>Ph</sub>, 3050, 3083 ν(C—H)<sub>Ph</sub>. Данные элементного анализа: найдено, % Al 3,93, Cl 5,61. Для C<sub>44</sub>H<sub>28</sub>N<sub>4</sub>AlCl вычислено, % Al 4,00, Cl 5,25.

**Бис(ацетато)(5,10,15,20-тетрафенил-21Н,23Н-порфинато)цирконий(IV), (AcO)<sub>2</sub>ZrTPP.** H<sub>2</sub>TPP и ZrOCl<sub>2</sub> в мольном соотношении 1:5 кипятили в феноле при 454 К в течение 40 ч. По окончании реакционную смесь экстрагировали в хлороформ. Раствор продуктов в CHCl<sub>3</sub> многократно промывали теплой водой для удаления фенола, концентрировали, частично отгоняя растворитель, и хроматографировали на колонке с Al<sub>2</sub>O<sub>3</sub> (II степень активности по Брокману) с использованием хлороформа. Наблюдали две зоны: подвижную зону H<sub>2</sub>TPP и адсорбирующуюся в верхней части колонки зону продукта. Последняя при замене элюента на смесь CHCl<sub>3</sub>:C<sub>2</sub>H<sub>5</sub>OH в объемном соотношении 2:1 разделялась на слабо выраженную подвижную зону и неподвижную зону целевого продукта, смываемую лишь смесью этанол — 5 % AcOH. Вещество последней зоны экстрагировали в хлороформ, раствор в хлороформе отмывали водой от кислоты и упаривали. Выход (AcO)<sub>2</sub>ZrTPP 25 %. ЭСП в хлороформе [ $\lambda_{\max}$ , нм (lgε)]: 539 (4,17), 500 (пл), 417 (5,23). ИК спектр в KBr, ν, см<sup>-1</sup>: 426 (Zr—N), 660, 725 (Zr—O), 702 (γ C=C)<sub>Ph</sub>, 753 (γ C—H)<sub>Ph</sub>, 805 (γ C—H)<sub>Pyrrol</sub>, 993, 1002 (C<sub>3</sub>—C<sub>4</sub>, ν C—N, δ C—H)<sub>Pyrrol</sub>, 1072, 1177 (δ C—H)<sub>Ph</sub>, 1336 (ν C—N), 1400 (ν<sub>s</sub> COO), 1441 (ν C=N), 1487, 1540 (скелетные колебания пиррольного кольца), 1556, 1598 (ν C=C)<sub>Ph</sub>, 1633 (ν<sub>as</sub> COO), 3054, 3059 (ν C—H)<sub>Ph</sub>, 2850, 2922 (ν C—H)<sub>Pyrrol</sub>. <sup>1</sup>H ЯМР в CDCl<sub>3</sub>, δ, м.д., J, Гц: 8,81 (т, 8H, C<sub>4</sub>H<sub>2</sub>N, J = 3), 8,00 (т, 4H, o-C<sub>Ph</sub>, J = 3), 8,37 (т, 4H, o-C<sub>Ph</sub>, J = 3), 7,75 (м, 8H, m-C<sub>Ph</sub>, 4H, n-C<sub>Ph</sub>), -0,86 (д, J = 6), 1,73 (д, J = 4) (6H, CH<sub>3</sub>COO). Данные элементного анализа: найдено, % C 69,5, H 4,0, N 6,1. Для C<sub>48</sub>H<sub>34</sub>N<sub>4</sub>O<sub>4</sub>Zr вычислено, % C 70,1, H 4,17, N 6,8.

**(5,10,15,20-Тетрафенил-21Н,23Н-порфинато)серебро(II), AgTPP.** <sup>1</sup>H ЯМР в CF<sub>3</sub>COOH, δ, м.д.; J, Гц: молекулярная форма (AgTPP) 7,84 (с, 8H, C<sub>4</sub>H<sub>2</sub>N), 7,66 (м, 8H, o-C<sub>Ph</sub>), 7,23 (м, 4H, n-C<sub>Ph</sub>), 7,15 (м, 8H, m-C<sub>Ph</sub>); H<sup>+</sup> — ассоциированная форма (AgTPP...H<sup>+</sup>) 8,67 (с, 8H, C<sub>4</sub>H<sub>2</sub>N), 8,14 (д, 8H, o-C<sub>Ph</sub>, J = 7,3), 7,55 (м, 4H, n-C<sub>Ph</sub>), 7,48 (м, 8H, m-C<sub>Ph</sub>), 4,25 (м, 1H, H<sub>meso</sub><sup>+</sup>), 4,46 (м, 1H, H<sub>β</sub><sup>+</sup>). <sup>1</sup>H ЯМР в CDCl<sub>3</sub>, δ, м.д.: 7,77 (с, 8H, C<sub>4</sub>H<sub>2</sub>N), 7,65 (с, 8H, o-C<sub>Ph</sub>), 7,1 (м, 8H, m-C<sub>Ph</sub>); 6,55 (м, 4H, n-C<sub>Ph</sub>).

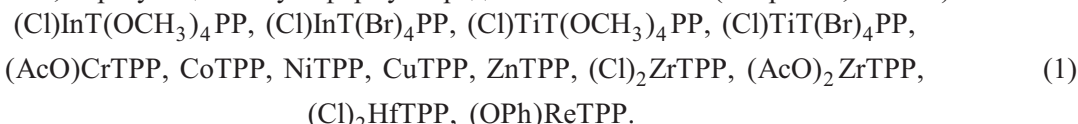
**5,10,15,20-Тетрафенил-21Н,23Н-порфин, H<sub>2</sub>TPP.** <sup>1</sup>H ЯМР в CF<sub>3</sub>COOH, δ, м.д., J, Гц: 8,85 (с, 8H, C<sub>4</sub>H<sub>2</sub>N), 8,6 (д, 8H, o-C<sub>Ph</sub>, J = 6,1), 8,05 (м, 8H, m-C<sub>Ph</sub>, 4H, n-C<sub>Ph</sub>), -1,98 (с, 4H, NH). <sup>1</sup>H ЯМР в CDCl<sub>3</sub>, δ, м.д.; J, Гц: 8,77 (с, 8H, C<sub>4</sub>H<sub>2</sub>N), 8,33 (д, 8H, o-C<sub>Ph</sub>, J = 6,1), 7,78 (м, 8H, m-C<sub>Ph</sub>, 4H, n-C<sub>Ph</sub>), -2,76 (с, 2H, NH).

ЭСП регистрировали на спектрофотометрах Agilent 8453 UV-Vis, Specord M-400; ИК спектры — на спектрометре VERTEX 80v; <sup>1</sup>H ЯМР спектры — на спектрометре AVANCE III-500 (Bruker, Германия, внутренний стандарт — TMC); элементный анализ выполняли на приборе CHNS-O Analyzer Flash EA 1112 Series.

Компьютерное моделирование процесса ступенчатого образования водородных связей между МР и протоном проведено на примере  $(Cl)InTPP$ ,  $AgTPP$  и  $H_4TPP^{2+}$ . Квантово-химическим методом PM3 и ZINDO [26—29] оптимизированы структуры молекул комплексов, дикатиона  $H_4TPP^{2+}$  и  $H^+$ -ассоциатов  $H_4TPP^{2+}...nH^+$ ,  $AgTPP...nH^+$ ,  $(Cl)InTPP...nH^+$  ( $n = 1—3$ ), получены их геометрические и энергетические параметры. В качестве активной формы протона брали изолированный  $H^+$ ,  $H_3O^+$  и нейтральную молекулу  $H_2SO_4$ . Условием окончания счета являлся заданный градиент — 0,04 кДж/(моль· $\text{\AA}$ ). В качестве начального приближения для углов и связей макроцикла были взяты параметры усредненной структуры металлопорфиринов [6].

## ОБСУЖДЕНИЕ РЕЗУЛЬТАТОВ

**Формы существования металлопорфиринов в сильных кислотах.** Изученные с использованием электронной спектроскопии поглощения МР были разделены на три группы. Первую представляют неустойчивые по координационному центру в среде сильных кислот МР (рис. 1, ряд 1). Ко второй группе отнесены МР, существующие в кислом растворе в молекулярном состоянии (см. рис. 1, табл. 1). В третью группу попадают устойчивые по координационному центру комплексы, образующие новую форму в среде сильных кислот (см. рис. 1, табл. 2).



Новая форма МР в среде сильных кислот имеет уникальный двухполосный видимый спектр (см. рис. 1, линия 3) с максимумами вблизи 540 и 700 нм. Положение первой полосы (700 нм) слабо зависит от природы металла и заметно изменяется при функциональном замещении (см. табл. 2). Вторая из упомянутых полос в большинстве случаев смещается в сторону коротких волн по сравнению с соответствующим спектром в  $CHCl_3$ . При изменении концентрации сильной кислоты полосы вблизи 700 нм претерпевают незначительный сдвиг. Так, в спектре  $(AcO)TiTPP$  видимые полосы расположены при 700, 545, 452 и 692, 545, 445 нм соответственно в 100 %-й и 14,50 M  $H_2SO_4$ . Природу двух интенсивных широких полос в ЭСП  $H^+$ -ассоциатов, составляющих "видимый" спектр всех без исключения металлопорфиринов в этой форме (см. табл. 2), можно трактовать, отталкиваясь от данных, опубликованных для  $\pi$ -катион-радикалов МР, т.е. случая полного удаления одного электрона из макроцикла металлопорфирина [30]. Для случая частичного переноса электронов подобных данных нет. ZINDO расчет молекул, катионов и анионов  $ZnPc$  и  $ZnTPP$  с использованием 16-орбитальной модели и данные магнитного кругового диэлектризма в цитированной работе показывают, что высокосимметричный  $ZnTPP$  демонстрирует орбитально вырожденное основное состояние — две граничные орбитали ВЗМО вырождены. Вырождение снимается при восстановлении макрокольца в  $ZnTPP^-$ , что приводит к катастрофическим изменениям ЭСП — появлению полос поглощения с  $\lambda_{max}$  538 и 910 нм  $\pi^* \rightarrow \pi^*$  переходов в пределах вакантных МО и батохромному смещению двух  $Q$  полос в ЭСП исходного  $ZnTPP$  (605 и 560 нм) на 145 и 168 нм. При удалении же одного электрона на примере перехода от  $ZnPc$  к  $ZnPc^+$  наблюдали аналогичное снятие вырождения и проявление в ЭСП новых полос  $\pi \rightarrow \pi$  перехода внутри заполненных оболочек наряду

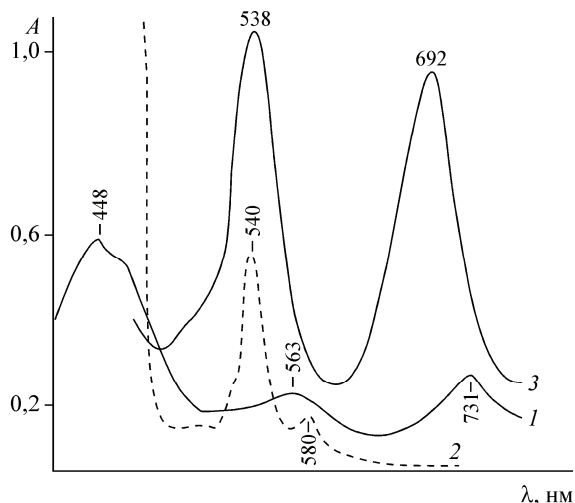


Рис. 1. УФ видимые спектры поглощения  $(Cl)InT(4-NO_2)_4PP$  (1),  $(Cl)_2SnTPP$  (2) и  $(Cl)InTPP$  (3) в концентрированной  $H_2SO_4$ . Спектр 1 соответствует новой форме дикатиона  $H_4T(4-NO_2)_4PP^{2+}$

Т а б л и ц а 1

*MP, образующие молекулярные растворы в среде сильных кислот, максимумы  $\lambda_{\max}$  и относительная интенсивность полос поглощения в их видимых спектрах в концентрированной серной кислоте.  
В скобках приведены  $\lambda_{\max}$  в хлороформе*

MP	$\lambda_{\max}^I$ , нм	$\lambda_{\max}^{II}$ , нм	$\lambda_{\max}^{III}$ , нм
(Cl)AlTPP <sup>a</sup>	650 пл, 620	516(558)	460 пл, 450
(Cl) <sub>2</sub> GeTPP	625, 589	547(554)	Не изучена
(Cl) <sub>2</sub> SnTPP	580	540(561)	450
O=VTPP	—	540, 490 пл (544, 508)	Не изучена
(AcO)MnT(2-NH <sub>2</sub> )PP		556(582)	474
(Cl)MnTAAPP <sup>b</sup>	—	558(585)	480
(SCN)MnTAAPP	630	565(585,5)	480
(Cl)MnOEP <sup>b</sup>	682, 590	546(559)	451
(AcO)MnOEP <sup>b</sup>	682, 590	546(559)	451
(SCN)MnOEP <sup>b</sup>		(561)	
(HSO <sub>4</sub> )MnTAAPP <sup>c</sup>		(591)	
(Cl)MnButP I <sup>d,д</sup>		(572, толуол)	
(Cl)MnButP IV <sup>d,д</sup>	605	530(546)	436
(Cl) <sub>3</sub> NbTPP <sup>e,*</sup>	—	535(549, AcOH)	409 пл
O=Mo(OH)TPP	653	610(584)	481
(Cl)RhTPP	625 широкая полоса	(533)	450, 416
PdTPP	600	550(521)	400
(Cl) <sub>3</sub> TaTPP <sup>*3</sup>	605	545, 520(560, 524, AcOH)	Не изучена
O=W(OH)TPP	655	607(585)	475
(Cl)ReTPP			
O=Re(OH)TPP <sup>b</sup>			
(Cl)IrTPP <sup>h</sup>			
(Cl)AuTPP <sup>3</sup>	665 пл	520(522)	Не изучена
PtTPP	600 широкая полоса	540 пл (541, 511)	400 широкая полоса

<sup>a</sup> В случае (Cl)AlTPP  $C_{\text{H}_2\text{SO}_4} < 17,5$  моль/л.

<sup>b</sup> TAAPP — дианион 5,10,15,20-тетра(*o*-адамантаноиламино)фенил21Н,23Н-порфина.

<sup>c</sup> Медленно диссоциирует по координационному центру.

<sup>d</sup> Растворяется с диссоциацией.

<sup>д</sup> ButP I и ButP IV — дианионы 2,7,12,17-тетраметил-3,8,13,18-тетра(*n*-бутил)порфирна и 3,7,12,18-тетраметил-2,8,13,17-тетра(*n*-бутил)порфирна; для последнего приведен спектр в AcOH — 6,5 моль/л H<sub>2</sub>SO<sub>4</sub>.

<sup>e</sup> В растворе находится [NbTPP<sup>3+</sup>]·3HSO<sub>4</sub><sup>-</sup>.

<sup>\*</sup> Комплексы переосаждаются из сернокислого раствора.

<sup>3</sup> В 100%-й H<sub>2</sub>SO<sub>4</sub>.

<sup>h</sup> Диссоциирует по двум связям Ir—N до SAT комплекса с молекулярным H<sub>2</sub>TPP.

со смещенными батохромно *Q* полосами при 958 и 925 нм, полосой второго  $\pi \rightarrow \pi^*$  перехода при 300—450 нм и полосами *B*<sub>1</sub>, *B*<sub>2</sub> и *n* →  $\pi^*$ . Частичное перераспределение электронной плотности между макроциклом и протоном в H<sup>+</sup>-ассоциате MP, вероятно, приводит к аналогичным изменениям в ЭСП. С учетом приведенных выше данных из работы [ 30 ] можно полагать, что две "видимые" полосы вблизи 700 и 540 нм в спектре MP...H<sub>solv</sub><sup>+</sup> есть не что иное, как батохромно смещенная *Q* полоса и поглощение, отвечающее  $\pi \rightarrow \pi$  переходу.

Таблица 2

*MP, образующие H<sup>+</sup>-ассоциат в среде сильных кислот, максимумы ( $\lambda_{\max}$ , lgε) в их видимых спектрах в концентрированной серной кислоте. C<sub>H<sub>2</sub>SO<sub>4</sub></sub>, моль/л: H<sub>4</sub>TPP<sup>2+</sup> > 17,5; (Cl)InTPP 16,09 и 12,02; (Cl)AlTPP > 17,5; (OH)AlTPP > 16,5; OsTPP 18,22. В скобках приведены  $\lambda_{\max}$  в хлороформе*

MP	$\lambda_{\max}^I$ , нм, lgε	$\lambda_{\max}^{II}$ , нм, lgε	$\lambda_{\max}^{III}$ , нм, lgε
H <sub>4</sub> TPP <sup>2+</sup>	700	550	448,2
(Cl)AlTPP	695	600 (592)	459
(OH)AlTPP	695	600 (596)	459
(AcO)GaTPP	716	541 (547, 587)	Не изучена
(Cl)InTPP	682, 4,81 680, 4,65	535, 4,87 (559) 536, 4,73	447, 5,19 446, 5,12
(AcO)TiTPP	700	545 (565)	455
(OH) <sub>2</sub> SiTPP	698	540 (557,5)	Не изучена
(AcO) <sub>2</sub> PbTPP	660	520 (584)	440, 470
O-TiTPP	694	540 (550)	Не изучена
(Cl)MnTPP	697	540 (582)	448
(AcO)MnTPP	697	540 (584)	448
(HSO <sub>4</sub> )MnTPP	697	540 (581)	448
(Cl)MnT(4-Br) <sub>4</sub> PP	732	557 (600, 641)	446, 456
(Cl)MnTPP(β-Br)	715	555 (584, 620)	460
(Cl)MnTPP(β-Br) <sub>4</sub>	742	578 (585, 622)	476
(N)Mn <sup>V</sup> TPP	695	540 (534,5)	449
MnCl <sub>3</sub> H <sub>2</sub> MPOMP (SAT комплекс)	694	542 (514, 5, 550)	Не изучена
(Cl)FeTPP	691	540 (540)	450
PdTPP	691	538 (552)	437
PdTPOEP	710	562 (544, 580)	Не изучена
PdOEP <sup>a</sup>	720—725	Не изучена (545)	»
PdMPOEP <sup>b</sup>	715	548 (550)	»
AgTPP	694	541 (541)	»
OsTPP	≈730	≈525 (551,5)	»
(Cl) <sub>2</sub> PtTPP	694	539 (548)	455, 420

<sup>a</sup> В смесях AcOH — 0,9÷1,4 моль/л H<sub>2</sub>SO<sub>4</sub>.

<sup>b</sup> В смесях AcOH — 2,8÷4,5 моль/л H<sub>2</sub>SO<sub>4</sub>.

О высокой устойчивости MP в форме ассоциатов MP...H<sub>solv</sub><sup>+</sup> можно судить по следующим фактам. Образующие новую форму комплексы (N)MnTPP, MnCl<sub>3</sub>·H<sub>2</sub>MPOMP, PdTPOEP и PdTPP осаждаются в неизмененном виде при выливании растворов в кислоте на лед. Остальные MP при осаждении переходят в соответствующий порфирина. Мы связываем это с повышением температуры раствора при контакте концентрированной кислоты с водой. Именно во избежание этого эффекта осаждение комплекса проводится выливанием на лед.

Приведенные выше данные, во-первых, указывают на устойчивость макроцикла в растворенных в серной кислоте комплексах, независимо от того, образует MP молекулярный раствор или новую протонированную форму. Во-вторых, в обоих случаях в растворе находится координированный порфирина. Этот вывод подтвержден экспериментально с использованием упомянутой в начале статьи индикаторной реакции. Поскольку при образовании новой формы протонирование MP нереально из-за отсутствия центров протонирования, подобных аза-мостикам в MPc, можно предположить образование водородной связи между MP и протонами H<sub>2</sub>SO<sub>4</sub> по

месту локализации дробных отрицательных зарядов в электроноизбыточном порфириновом лиганде. Такая форма могла бы называться  $\text{H}^+$ -ассоциатом металлопорфирина  $\text{MP...H}_{\text{solv}}^+$ .

Это предположение находит экспериментальное подтверждение. По данным табл. 2 для образования металлопорфирином  $\text{H}^+$ -ассоциата  $\text{MP...H}_{\text{solv}}^+$  необходимо выполнение нескольких условий: 1) координационный центр устойчив в данной кислой среде; 2) комплекс не содержит электронно-акцепторных заместителей; 3) в состав комплекса входит  $\pi$ -электронно-донорный аксиальный лиганд или же центральный атом металла имеет на  $d$ -орбиталах не менее шести электронов. Таким образом, общим требованием является, кроме устойчивости координационного центра, возможность реализации электронно-избыточного состояния ароматического макроцикла.

**Экспериментальное обоснование строения  $\text{H}^+$ -ассоциированной формы  $\text{MP}$ .** Для определения природы  $\text{H}^+$ -ассоциата и количества частиц  $\text{H}_{\text{solv}}^+$  в нем, места локализации и энергетики устойчивой водородной связи проведены исследования по спектрофотометрическому титрованию ( $\text{Cl}$ )InTPP серной кислотой, обнаружению сигнала дополнительного протона в спектре  $^1\text{H}$  ЯМР на примере AgTPP и квантово-химической оптимизации структуры молекул  $\text{MP}$  и  $\text{H}^+$ -ассоциатов  $\text{MP...H}_{\text{solv}}^+$ . При спектрофотометрическом титровании ( $\text{Cl}$ )InTPP водной  $\text{H}_2\text{SO}_4$  для получения кривой титрования необходимо определить оптическую плотность растворов с изменяющейся концентрацией  $\text{H}_2\text{SO}_4$  и постоянной известной концентрацией  $\text{MP}$ . Последнее обычно достигается за счет использования одного и того же раствора  $\text{MP}$  при приготовлении серии растворов добавлением в одинаковый объем раствора  $\text{MP}$  адекватных количеств раствора титранта и растворителя, что недостижимо в случае титрования в серной кислоте из-за разогрева смеси при смешивании кислоты с водой. Поэтому поступали следующим образом. Вначале определяли по известным концентрациям  $\text{MP}$  и оптической плотности на рабочей длине волны (447, 535 или 682 нм) молярные коэффициенты погашения при каждой концентрации  $\text{H}_2\text{SO}_4$ , варьируемой в интервале 12,02—17,60 моль/л (рис. 2). Затем задавали постоянное значение концентрации  $\text{MP}$  и рассчитывали оптические плотности, необходимые для построения зависимости  $\lg \frac{A_p - A_o}{A_\infty - A_p} - H_0$  (рис. 3), в которой  $A_o$ ,  $A_p$ ,  $A_\infty$  — оптические плотности на рабочей дли-

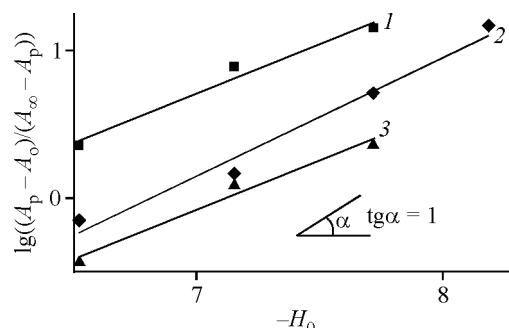
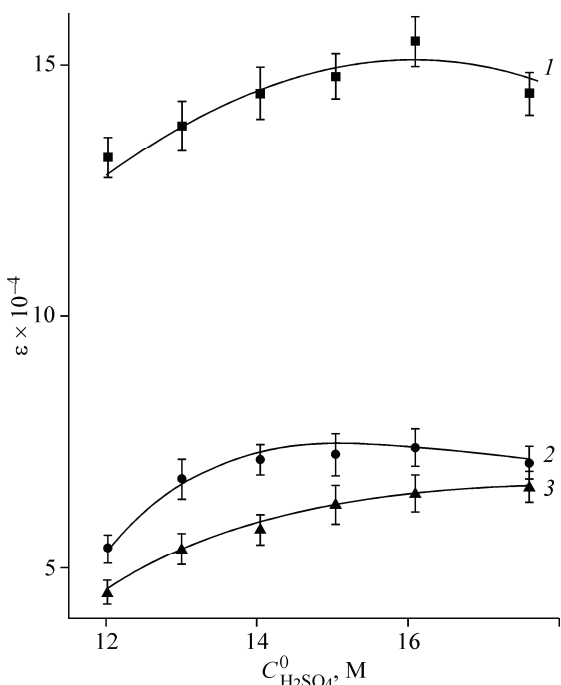


Рис. 2 (слева). Зависимость молярного коэффициента погашения ( $\epsilon$ ) ( $\text{Cl}$ )InTPP в концентрированной серной кислоте от ее концентрации ( $C_0 \text{H}_2\text{SO}_4$ , М) на рабочих длинах волн,  $\lambda_{\text{max}}$ , нм: 447 (1), 535 (2), 682 (3)

Рис. 3 (справа). Зависимость  $\lg \frac{A_p - A_o}{A_\infty - A_p}$  от функции кислотности  $\text{H}_2\text{SO}_4$  ( $H_0$ ) реакции образования  $\text{H}^+$ -ассоциированной формы ( $\text{Cl}$ )InTPP в серной кислоте

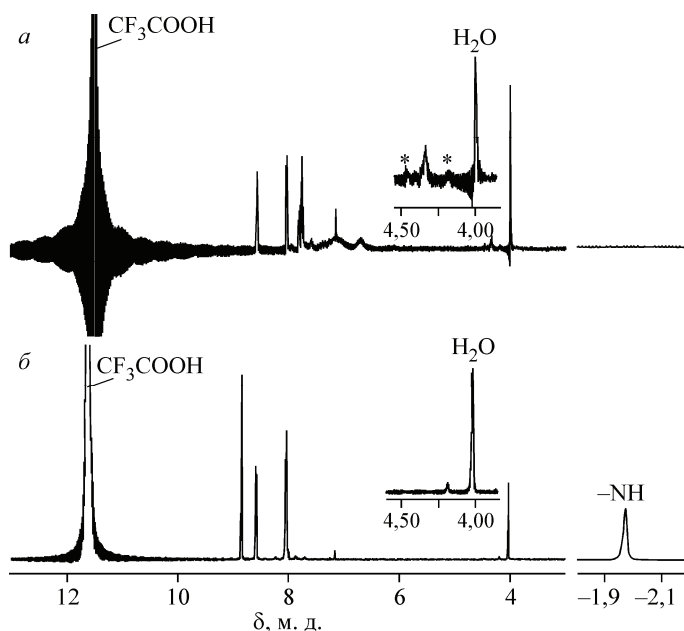


Рис. 4. Спектры  $^1\text{H}$  ЯМР в  $\text{CF}_3\text{COOH}$ : AgTPP (а) и  $\text{H}_2\text{TPP}$  (б)

не волны растворов  $(\text{Cl})\text{InTPP}$ , равновесной смеси при определенной концентрации  $\text{H}_2\text{SO}_4$  и  $\text{H}^+$ -ассоциата. Математическая обработка зависимости по методу НК дает угол наклона прямой, близкий к единице ( $\text{tg}\alpha = 0,67, 0,66$  и  $0,81$  для рабочих длин волн  $447, 535$  и  $682$ ), что соответствует одному протону, участвующему в реакции, и константе равновесия  $K = 10^7 \text{ M}^{-1}$ . Из-за низкой растворимости молекулярной формы  $(\text{Cl})\text{InTPP}$  изученный интервал концентраций  $\text{H}_2\text{SO}_4$  не захватывает исследуемое равновесие между молекулами  $(\text{Cl})\text{InTPP}$  и их  $\text{H}^+$ -ассоциатами в крайнем левом положении. Поэтому значение константы  $K$  следует рассматривать как ориентировочное.

Будучи ограниченными экспериментальной возможностью получения качественных  $^1\text{H}$  ЯМР спектров  $\text{H}^+$ -ассоциированной формы в среде сильной кислоты, мы остановились на спектрах AgTPP и  $\text{H}_2\text{TPP}$  в  $\text{CF}_3\text{COOH}$  (99,8 % основного вещества) (см. экспериментальную часть). По данным ЭСП соединения образуют в растворе соответственно  $\text{H}^+$ -ассоциат и дикатион  $\text{H}_4\text{TPP}^{2+}$ . Невозможным оказалось снятие спектров в  $\text{D}_2\text{SO}_4$  из-за слабой растворимости комплекса, примеси  $\text{H}_2\text{SO}_4$  и неустойчивости MP, в частности  $(\text{Cl})\text{InTPP}$ , в 100%-й серной кислоте. В спектре AgTPP обнаружены два дополнительных по сравнению со спектром  $\text{H}_4\text{TPP}^{2+}$  в  $\text{CF}_3\text{COOH}$  сигнала при  $4,20$  и  $4,46$  м.д. и не обнаружен сигнал NH-протонов, присутствующий в спектре  $\text{H}_4\text{TPP}^{2+}$  в  $\text{CF}_3\text{COOH}$   $\delta$  при  $-1,98$  м.д. (рис. 4). Два дополнительных сигнала отнесены с учетом следующих ниже данных квантово-химических расчетов к двум дополнительным протонам в  $\text{H}^+$ -ассоциате, предположительно в мезо- и  $\beta$ -положениях макроцикла, которые по-разному дезэкранированы кольцевым током. Подтверждением реакции между  $\text{CF}_3\text{COOH}$  и AgTPP может служить присутствие широких резонансных сигналов в области проявления мета- и *para*-протонов фенильных колец макроцикла ( $6,5$ — $7,8$  м.д.), свидетельствующее о наличии протонного обмена с участием протона, ассоциированного с молекулой металлопорфирина. Присоединение двух протонов к AgTPP в отличие от одного в случае  $(\text{Cl})\text{InTPP}$  в концентрированной серной кислоте связано, вероятно, с ростом кислотности среды.

**Квантово-химическое моделирование процесса образования  $\text{H}^+$ -ассоциированной формы MP.** Анализ расчетных данных (табл. 3) показал, что лучший прогноз структуры  $\text{H}^+$ -ассоциированных форм дает использование в модельной системе изолированного протона  $\text{H}^+$ . Критерием, определяющим возможность ступенчатого присоединения протона, выбрана энергия присоединения одного протона, равная или превышающая по величине энергию протонирования

ния молекулы аммиака (207 ккал/моль) [ 31, 32 ]. В результате расчета установлено, что образование H-ассоциата  $H_4\text{TPP}^{2+}\dots H^+$  с локализацией одного протона на *мезо*-атоме углерода макр цикла имеет довольно низкую вероятность (энергия протонирования  $E_{\text{прот}} = -86,93$  ккал/моль,

Таблица 3

*Энергии протонирования ( $E_{\text{прот}}$ ) и некоторые межъядерные расстояния по результатам квантово-химического расчета методом PM3 и ZINDO молекул  $H_2\text{TPP}$ ,  $\text{AgTPP}$  и  $(\text{Cl})\text{InTPP}$  и их протонированных форм*

Комплекс	$-E'_{\text{прот}}$ , ккал/моль	Длина связи, Å				
		M—Ct	M—X	$N_1—N_3$ $N_2—N_4$	$C_{\text{мезо}}—H^+$ $C_\beta—H^+$ $N—H^+$	$P_{N_4}^{***}$
$H_2\text{TPP}$				4,130 4,220		11,813
$H_3\text{TPP}^+$	219,63			4,156 4,237	0,992	11,880
$H_4\text{TPP}^{2+}$	152,07			4,306 4,311	0,990	12,252
$H_4\text{TPP}^{2+}\dots H_{\text{мезо}}^+$	86,93			4,520 4,527	1,127	12,895
$\text{AgTPP}$		0,187		4,287 4,286		12,221
$\text{AgTPP}\dots H_{\text{мезо}}^+$	320,22	0,008		4,264 4,264	1,109	12,061
$\text{AgTPP}\dots 2H_{\text{мезо}}^+ (\text{цис})$	195,03	1,057		4,933 3,812	1,114 1,112	12,577
$\text{AgTPP}\dots 2H_{\text{мезо}}^+ (\text{транс})$	237,80	0,031		4,249 4,249	1,111 1,110	12,019
$\text{AgTPP}\dots H_{\text{мезо}}^+ H_\beta^+ \text{**}$	286,08	0,091		4,277 4,291	1,109 1,099	12,140
$(\text{Cl})\text{InTPP}$		0,337	2,528	4,113 4,126		11,652
$(\text{Cl})\text{InTPP}\dots H_{\text{мезо}}^+$	208,22	0,426	2,462	4,120 4,123	1,128	11,657
$(\text{Cl})\text{InTPP}\dots H_\beta^+$	208,80	0,384	2,441	4,107 4,130	1,111	11,650
$(\text{Cl})\text{InTPP}\dots H_\alpha^+$	199,57	0,549	2,449	4,098 4,023	1,130	11,522
$(\text{Cl})\text{InTPP}\dots H_{\text{мезо}}^+ H_\beta^+ \text{*}$	141,71	0,461	2,404	4,116 4,091	1,129 1,112	11,607
$(\text{Cl})\text{InTPP}\dots H_{\text{мезо}}^+ H_\beta^+ \text{**}$	140,00	0,475	2,462	4,099 4,129	1,130 1,113	11,657
$(\text{Cl})\text{InTPP}\dots H_{\text{мезо}}^+ H_\alpha^+ \text{**}$	129,45	0,574	2,464	4,116 4,037	1,130 1,128	11,667

\* Протонирование по  $C_{\text{мезо}}$ ,  $C_\beta$  соседнего пиррольного остатка.

\*\* Протонирование по  $C_{\text{мезо}}$ ,  $C_\beta$  пиррольного остатка, не связанного с "протонированным".

\*\*\* Периметр координационной плоскости  $N_4$ .

длина связи  $l_{C_{\text{мезо...H}^+}} = 1,127 \text{ \AA}$ ). Ситуация изменяется в случае сольватированного протона. Как указывалось выше (см. табл. 2),  $H_4\text{TPP}^{2+}\dots H_{\text{solv}}^+$  является единственной формой порфирина в водной  $\text{H}_2\text{SO}_4$  с концентрацией выше 17,5 моль/л.

В случае (Cl)InTPP и AgTPP энергетически выгодно образование моно- и дипротонированных форм. Для (Cl)InTPP ассоциат с одним протоном представлен тремя изомерами: (Cl)InTPP... $H_{\text{мезо}}^+$ , (Cl)InTPP... $H_{\beta}^+$  и (Cl)InTPP... $H_{\alpha}^+$  с  $E_{\text{прот}} = -208,45$ ,  $-208,80$  и  $-199,57$  ккал/моль и  $l_{C\cdots H}^+$  1,128, 1,111 и 1,130  $\text{\AA}$  соответственно. Присоединение второго протона сопровождается образованием трех изомеров с локализацией протонов по  $C_{\text{мезо}}$ ,  $C_{\beta}$  соседнего пиррольного остатка, по  $C_{\text{мезо}}$ ,  $C_{\beta}$  пиррольного остатка, не связанного с "протонированным"  $C_{\text{мезо}}$  ( $E_{\text{прот}} = -140,02$  и  $-141,71$  ккал/моль соответственно,  $l_{C_{\text{мезо...H}}}^+ = 1,129$ ,  $l_{C_{\beta}\cdots H}^+ = 1,115 \text{ \AA}$  и  $l_{C_{\text{мезо...H}}}^+ = 1,129$ ,  $l_{C_{\beta}\cdots H}^+ = 1,112 \text{ \AA}$ ), и по  $C_{\text{мезо}}$ ,  $C_{\alpha}$  несоседнего пиррольного остатка ( $E_{\text{прот}} = -129,45$  ккал/моль,  $l_{C_{\text{мезо...H}}}^+ = 1,129$ ,  $l_{C_{\alpha}\cdots H}^+ = 1,128 \text{ \AA}$ ).

Однократное "протонирование" AgTPP идет с большей вероятностью по мезо-положению макроцикла с образованием  $\text{AgTPP}^+\dots H_{\text{мезо}}^+$  ( $E_{\text{прот}} = -320,22$  ккал/моль,  $l_{C_{\text{мезо...H}}}^+ = 1,10 \text{ \AA}$ ). Ассоциированная форма с двумя  $H^+$  представлена тремя изомерами: с водородной связью по двум  $C_{\text{мезо}}$  в транс- и цис-положениях ( $E_{\text{прот}} = -237,80$  и  $-195,0380$  ккал/моль,  $l_{C_{\text{мезо...H}}}^+ = 1,102$ ,  $1,102 \text{ \AA}$  и  $l_{C_{\text{мезо...H}}}^+ = 1,111$ ,  $1,111 \text{ \AA}$ ) и по  $C_{\text{мезо}}$  и "несоседнему"  $C_{\beta}$  ( $E_{\text{прот}} = -286,08$  ккал/моль,  $l_{C_{\text{мезо...H}}}^+ = 1,10 \text{ \AA}$ ,  $l_{C_{\beta}\cdots H}^+ = 1,102 \text{ \AA}$ ).

Образование  $H^+$ -ассоциата с тремя водородными связями обоими изучаемыми комплексами характеризуется существенно меньшей энергией взаимодействия (для (Cl)InTPP с локализацией протонов по мезо- и двум  $\beta$ -атомам углерода  $E_{\text{прот}} = -50,77$  ккал/моль). Структура такой молекулы очень напряжена и деформирована (рис. 5). Исходя из этого, можно констатировать

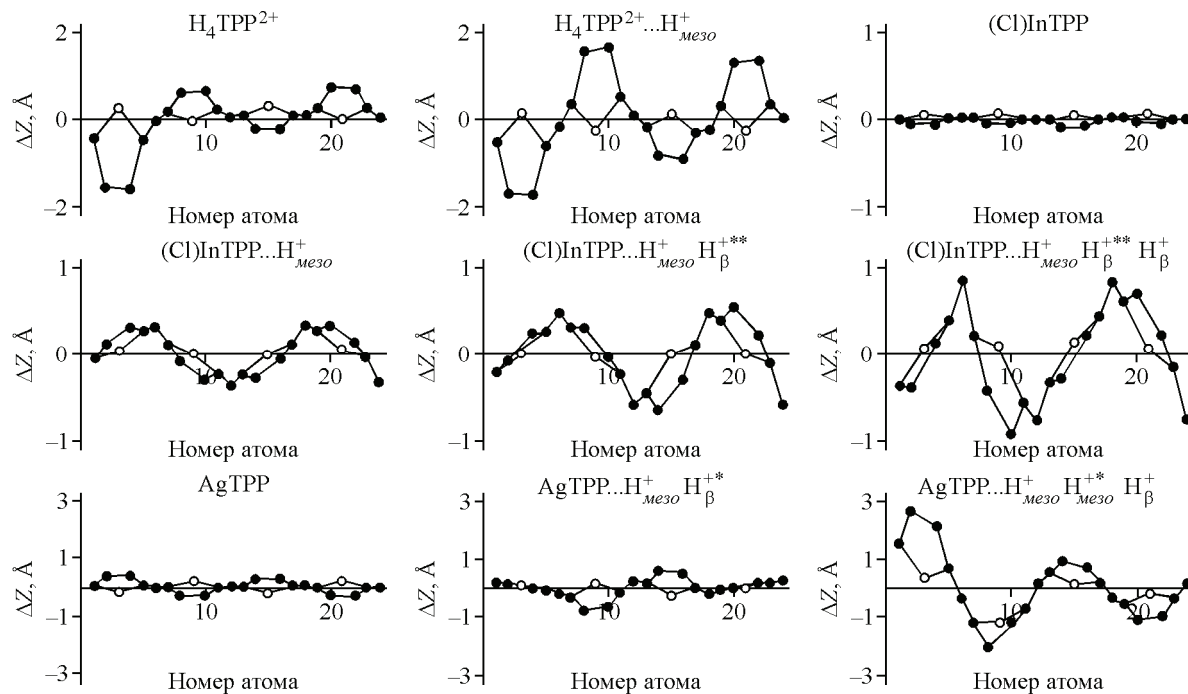


Рис. 5. Отклонения атомов от средней плоскости молекулы для  $H_4\text{TPP}^{2+}$ , (Cl)InTPP, AgTPP и их  $H^+$ -ассоциированных форм.

$N \circ$ ,  $C \bullet$ , при  $C_{\text{мезо}}$  и  $C_{\beta}$  "несоседнего" пиррольного фрагмента \*; при  $C_{\text{мезо}}$  и  $C_{\beta}$  "соседнего" пиррольного фрагмента \*\*

отсутствие в модельной системе комплекс — протон взаимодействия как по третьей, так и по четвертой ступени.

## ВЫВОДЫ

Таким образом, стабильные МР образуют в среде сильных кислот либо очень разбавленные молекулярные растворы, либо более концентрированные растворы, в которых реально существуют весьма устойчивые ион-молекулярные ассоциаты МР с протонами растворителя. В водной концентрированной  $H_2SO_4$  в  $H^+$ -ассоциате один протон связан водородной связью с ароматическим *мезо*-атомом углерода  $C_{\text{мезо}}$ , в среде с максимальной кислотностью (100%-я  $CF_3COOH$ ) в образовании ассоциата принимают участие два  $H^+$  и атомы углерода в *мезо*- и  $\beta$ -положениях. Последнее четко проявляется в наличии двух неразрешенных мультиплетов в соответствующем спектре  $^1H$  ЯМР.

Работа выполнена при поддержке Программы фундаментальных исследований Президиума РАН № 8 "Направленный синтез неорганических веществ с заданными свойствами и создание функциональных материалов на их основе", Российского фонда фундаментальных исследований, № 12-03-00967, ФЦП "Научные и научно-педагогические кадры инновационной России на 2009—2012 годы", Госконтракт № 02.740.11.0106 (2012 г.).

## СПИСОК ЛИТЕРАТУРЫ

1. Stuzhin P.A. // J. Porphyrins Phthalocyanines. – 2003. – 7, N 12. – P. 813.
2. Березин Б.Д., Андрианов В.Г. // Изв. вузов. Сер. Химия и технол. – 1977. – 20, № 6. – С. 807.
3. Андрианов В.Г., Малкова О.В., Березин Б.Д. В кн. Успехи химии порфиринов / О.А. Голубчиков. – СПб: Изд-во НИИ Химии СПбГУ, 2001. – 3. – С. 107.
4. Jimenez H.R., Jolve M., Faus J. // J. Chem. Soc., Dalton Trans.: Inorg. Chem. (1972—1999). – 19991, N 8. – P. 1945.
5. Stuzhin P.A., Gaberkorn A.A., Molodkina O.V., Pimkov I. // Abstr. of 2nd Internat. Conf. on Porphyrins and Phthalocyanines ICPP-2. – Kyoto, 2002. – P-78. – P. 326.
6. Суслова Е.Е., Ломова Т.Н. // Координац. химия. – 2006. – 32, N 3. – С. 163 [Suslova E.E., Lomova T.N. // Rus. J. Coordinat. Chem. – 2006. – 32, N 3. – P. 155].
7. Ломова Т.Н., Соколова Т.Н. В кн. Успехи химии порфиринов / О.А. Голубчиков. – СПб: Изд-во НИИ Химии СПбГУ, 1999. – 2. – С. 167.
8. Соколова Т.Н., Суслова Е.Е., Ломова Т.Н., Зайцева С.В., Зданович С.А. // Журн. неорган. химии. – 2002. – 47, № 9. – С. 1460 [Sokolova T.N., Suslova E.E., Lomova T.N., Zaitseva S.V., Zdanovich S.A. // Russ. J. Inorgan. Chem. – 2002. – 47, N 9. – P. 1333].
9. Schweiger K., Hükstädt H., Homborg H. // Z. Naturforsch. – 1999. – B54. – S. 963.
10. Tsai C.-H., Tung J.-Y., Chen J.-H., Liao F.-L., Wang S.-L., Wang S.-S., Hwang L.-P., Chen C.-B. // Polyhedron. – 2000. – 19. – P. 633.
11. Jaguinod L., Khoyri R.G., Smith K.M. // Chem. Commun. – 1998. – P. 1261.
12. Крук Н.Н., Старухин А.С., Мамардашвили Н.Ж., Шейнин В.Б., Иванова Ю.Б. // Журн. приклад. химии. – 2007. – 74, N 6. – С. 750 [Kruk N.N., Staruchin A.S., Mamardashvili N.Zh., Sheinin V.B., Ivanova Yu.B. // J. Appl. Spectroscopy. – 2007. – 74, N 6. – P. 831].
13. Ломова Т.Н., Можжухина Е.Г., Шорманова Л.П., Березин Б.Д. // Журн. общ. химии. – 1989. – 59. – С. 2317.
14. Морозов В.В. Синтез и физико-химическое исследование сульфопроизводных тетрафенилпорфина. Автореф. дис. ... канд. хим. наук. – Иваново: ИХТИ, 1983.
15. Ломова Т.Н. В кн. Успехи химии порфиринов / О.А. Голубчиков. – СПб: Изд-во НИИ Химии СПбГУ, 2001. – 3. – С. 233.
16. Ломова Т.Н., Березин Б.Д. // Координац. химия. – 1993. – 19. – С. 171.
17. Ломова Т.Н., Можжухина Е.Г., Березин Б.Д. // Журн. неорган. химии. – 1993. – 38, № 9. – С. 1552.
18. Ломова Т.Н., Можжухина Е.Г. // Журн. неорган. химии. – 1997. – 42, № 10. – С. 1691.
19. Ломова Т.Н., Тюляева Е.Ю., Можжухина Е.Г. // Координац. химия. – 2003. – 29, № 8. – С. 605 [Lomova T.N., Tuulyaeva E.Yu., Mozhzhukhina E.G. // Russ. J. Coord. Chem. – 2003. – 29, N 8. – P. 564].
20. Ломова Т.Н., Можжухина Е.Г. // Журн. неорган. химии. – 2012. – 57, № 2. – С. 239. [Lomova T.N., Mozhzhukhina E.G. // Russ. J. Inorg. Chem. – 2012. – 57, N 2. – P. 197.]

21. Ломова Т.Н., Тюляева Е.Ю., Андрианова Л.Г. // Журн. неорган. химии. – 2001. – **46**, № 3. – С. 432 [Lomova T.N., Tyulyaeva E.Yu., Andrianova L.G. // Russ. J. Inorg. Chem. – 2001. – **46**, N 3. – P. 371].
22. Ломова Т.Н., Тюляева Е.Ю. // Координат. химия. – 2001. – **27**, № 6. – С. 465 [Lomova T.N., Tyulyaeva E.Yu. // Russ. J. Coord. Chem. – 2001. – **27**, N 6. – P. 433].
23. Семейкин А.С. Тез. докл. XXIX науч. сессии Рос. семинара по химии порфиринов и их аналогов. – Иваново, 2006.
24. Buchler J.W., Dreher C. // Z. Naturforsch. – 1982. – **39b**. – S. 222.
25. Стужин П.А., Репина Н.В., Клюева М.Е., Федотова Е.В. // Журн. физ. химии. – 2004. – **78**, № 6. – С. 1002 [Stuzhin P.A., Fedotova E.V., Repina N.V., Klyueva M.E. // Rus. J. Phys. Chem. A. – 2004. – **78**, N 6. – P. 864].
26. Stewart J.J.P. // J. Comput. Chem. – 1989. – **10**. – P. 209.
27. Fletcher R. Methods of Optimization. – New York: John Wiley & Sons, 1980.
28. Stewart J.J.P. // J. Computer — Aided Molecular Desing. – 1990. – **4**. – P. 1.
29. Anderson W.P., Edwards W.D., Zerner M.C. // Inorg. Chem. – 1986. – **25** (16). – P. 2728.
30. Mack J., Stillman M.J. // J. Porphyrins Phthalocyanines. – 2001. – **5**, N 1. – P. 67.
31. Белл Р. Протон в химии. – М.: Мир, 1977. [Bell R.P. The proton in chemistry. – L.: Chapman and Hall, 1973].
32. Dewar J.S., Dieter K.M. // J. Amer. Chem. Soc. – 1986. – **108**. – P. 8075.